

САНКТ-ПЕТЕРБУРГСКИЙ НАЦИОНАЛЬНЫЙ ИССЛЕДОВАТЕЛЬСКИЙ УНИВЕРСИТЕТ  
ИНФОРМАЦИОННЫХ ТЕХНОЛОГИЙ, МЕХАНИКИ И ОПТИКИ

Кафедра Систем управления и информатики

Дисциплина: Методы управления для робототехнических приложений (м.1.4.3-СУиИ)

**ЛАБОРАТОРНАЯ РАБОТА 2:**  
**РЕШЕНИЕ ОБРАТНОЙ ЗАДАЧИ КИНЕМАТИКИ ДЛЯ**  
**ПОСЛЕДОВАТЕЛЬНОГО МАНИПУЛЯТОРА**

Студент:	Дема Н.Ю.
Группа:	P4135

## Задание

Для манипуляционного робота последовательной кинематики требуется аналитически вывести уравнения решения обратной задач кинематики, разработать программу реализующую полученные уравнения и провести ее экспериментальную апробацию.

## Исходные данные

В первой лабораторной работе были получены параметры Денавита-Хартенберга, представленные в Таблице 1. На Рисунке 1 показана кинематическая схема исследуемого манипулятора.

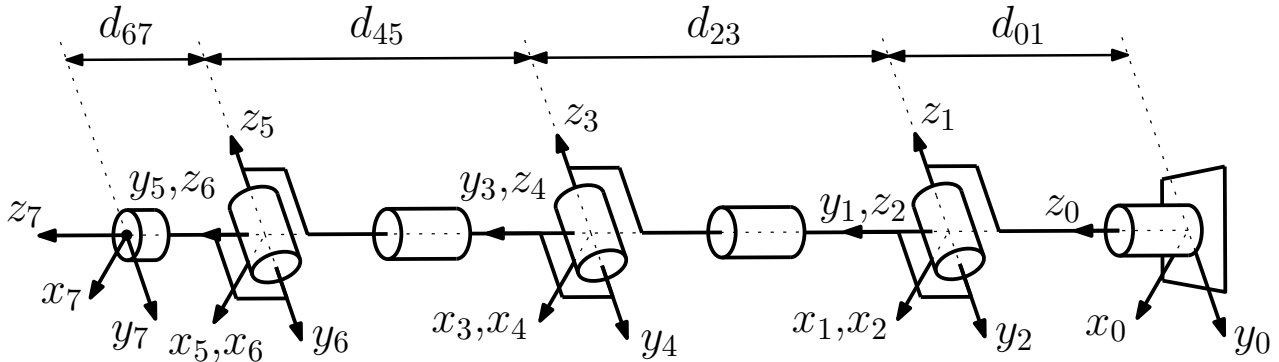


Рисунок 1: Кинематическая схема робота (KUKA LBR IIWA 820) с заданными системами координат в соответствии с соглашением Денавита-Хартенберга

Таблица 1: Параметры Денавита-Хартенберга

звено (i)	$a_i$	$\alpha_i$	$d_i$	$\theta_i$
1	0	$\pi/2$	$d_{01}$	$\theta_1$
2	0	$-\pi/2$	0	$\theta_2$
3	0	$\pi/2$	$d_{23}$	$\theta_3$
4	0	$-\pi/2$	0	$\theta_4$
5	0	$\pi/2$	$d_{45}$	$\theta_5$
6	0	$-\pi/2$	0	$\theta_6$
7	0	0	$d_{67}$	$\theta_7$

Так же полагается, что решена прямая задача кинематики — определена матрица однородного преобразования  ${}^0H_7$ , которая по заданным обобщённым координатам позволяет определить положение рабочего органа манипулятора.

Для выполнения расчётов задаётся матрица однородного преобразования  ${}^0H_t$ , которая определяет состояние рабочего органа манипулятора в целевой конфигурации.

Ввиду того, что используемый алгоритм не подходит для исходной кинематики рассматриваемого манипулятора будем полагать, что сочленение 3 является неподвижным ( $\theta_3 = 0$ ).

## Алгоритм кинематической декомпозиции

Кинематическая декомпозиция заключается в разделении ОЗК на две подзадачи

- ОЗК по положению (определение  $\theta_1$ ,  $\theta_2$  и  $\theta_4$ )
- ОЗК по ориентации (определение  $\theta_5$ ,  $\theta_6$  и  $\theta_7$ )

## ОЗК по положению

Введем следующие обозначения:

$p_j^i$  — вектор из системы  $Ox_iy_iz_i$  в систему координат  $Ox_jy_jz_j$  выраженный относительно  $Ox_0y_0z_0$ ,

${}^iR_j$  — матрица определяющая вращение системы координат  $Ox_jy_jz_j$  относительно  $Ox_iy_iz_i$ .

Тогда определим  $p_5^0$  как:

$$p_5^0 = [x_5^0 \ y_5^0 \ z_5^0]^T = p_7^0 - d_{67}^0 R_7 [0 \ 0 \ 1]^T \quad (1)$$

Исходя из получаемого вектора определим обобщенные координаты  $\theta_1$ ,  $\theta_2$  и  $\theta_4$ .

$$\theta_1 = \text{atan2}(x_5^0, y_5^0), \quad (2)$$

$$\theta_4 = \text{atan2}(\pm\sqrt{1 - \cos^2(\theta_4)}, \cos(\theta_4)), \quad (3)$$

где  $\cos(\theta_4)$  определяется, как:

$$\cos(\theta_4) = \frac{b^2 + c^2 - d_{23}^2 - d_{45}^2}{2d_{23}^2 d_{45}^2}, \quad (4)$$

$$a = \sqrt{(x_5^1)^2 + (y_5^1)^2 + (z_5^1)^2}, \quad (5)$$

$$b = z_5^0 - d_{01}, \quad (6)$$

$$c = \sqrt{(x_5^0)^2 + (y_5^0)^2}, \quad (7)$$

И определим обобщенную координату  $\theta_2$ :

$$\theta_2 = \text{atan2}(b, c) - \text{atan2}(d_{45}\sin(\theta_4), d_{23} + d_{45}\cos(\theta_4)) - \pi/2, \quad (8)$$

## ОЗК по ориентации

Определим матрицу вращения  ${}^4R_7$  как:

$${}^4R_7 = {}^0R_4^T {}^0R_7 \quad (9)$$

где матрица  ${}^0R_7$  определяется из условия, а  ${}^0R_4$  — определяется из решения ПЗК для полученных ранее обобщенных координат.

Параметризуем полученную матрицу углами Эйлера, которые ввиду рассматриваемой конструкции совпадут с оставшимися обобщенными координатами.

$$\theta_5 = \text{atan2}(\pm\sqrt{1 - r_{33}^2}, r_{33}), \quad (10)$$

$$\theta_6 = \text{atan2}(\pm r_{23}, \pm r_{13}), \quad (11)$$

$$\theta_7 = \text{atan2}(\pm r_{32}, \pm r_{31}), \quad (12)$$

Для проведения расчётов воспользуемся средствами пакета Matlab/Simulink, соответствующий листинг программы функции для решения обратной задачи кинематики представлен в Приложении 1.

Для визуализации результатов воспользуемся средствами r-viz. На Рисунке 2 представлены результаты расчётов обобщенных координат для нескольких вариантов расположения рабочего органа.

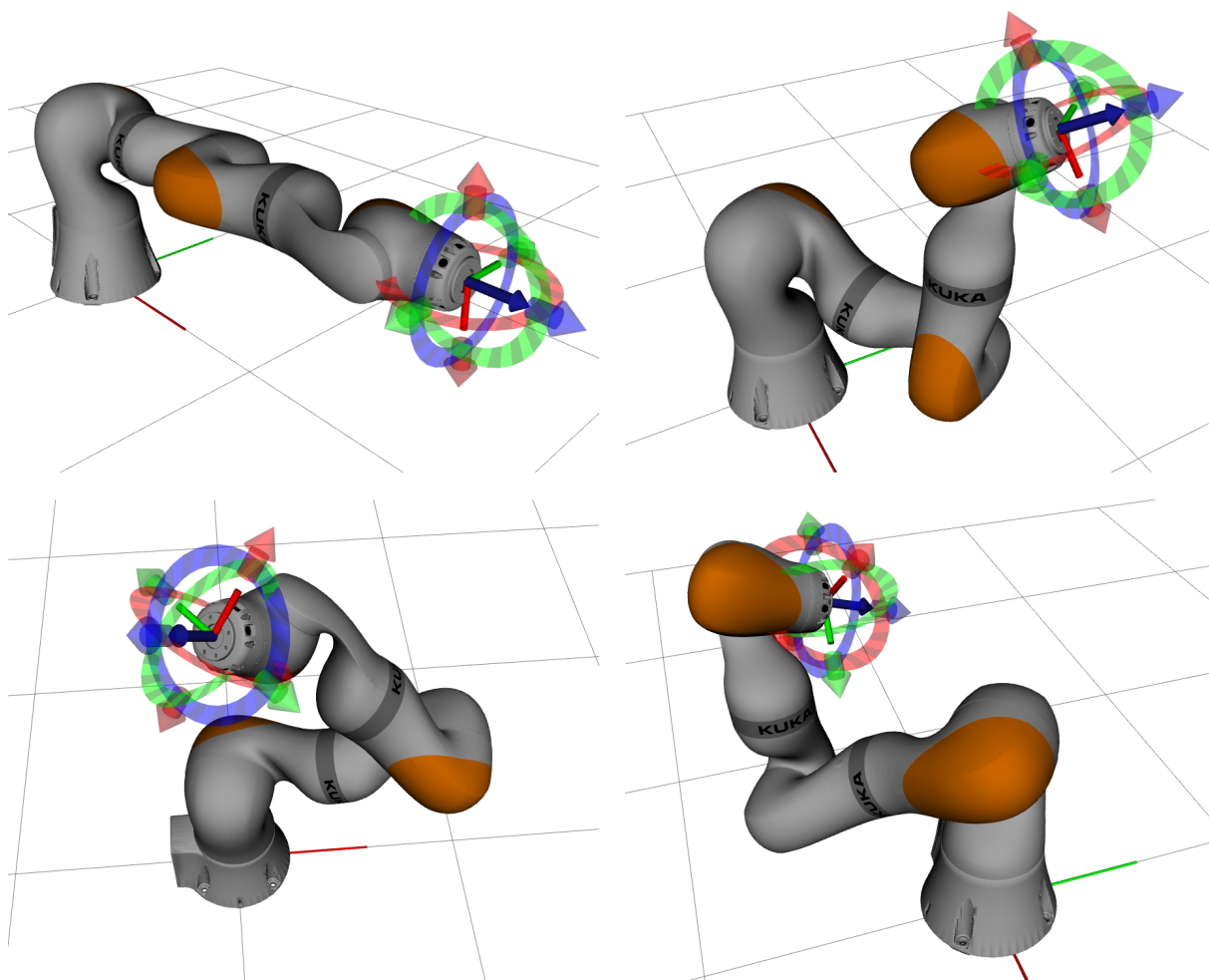


Рисунок 2: Решение обратной задачи кинематики для нескольких положений рабочего органа манипулятора

## Заключение

В ходе выполнения данной работы была решена обратная задача кинематики для 6-ти звенного манипулятора последовательной кинематики. Код разработанной программы доступен по адресу <https://github.com/Ram2301/iiwa>.

## Приложение 1

---

```
1  % Inverse kinematic for 6-DoF manipulator
2  function [th_new] = IK_calc(x, y, z, q)
3
4  d01 = 0.36;
5  d23 = 0.42;
6  d45 = 0.4;
7  d67 = 0.126;
8
9  R0T = quat2rotm(q);
10 p0T = [x; y; z];
11 p05 = p0T - d67*R0T*[0;0;1];
12
13 if (p05(1) ~= 0) && (p05(2) ~= 0)
14     th1 = atan2(p05(2), p05(1));
15     c = sqrt(p05(1)^2 + p05(2)^2);
16 else
17     c = 0;
18 end
19
20 b = p05(3) - sign(p05(3))*d01;
21
22 if (p05(3) ~= 0)
23     a = sqrt(b^2 + c^2);
24 else
25     a = 0;
26 end
27
28 if sqrt(p05(1)^2 + p05(2)^2 + (abs(p05(3))-d01)^2) >= (d23 + d45)
29     th4 = 0;
30 else
31     cth4 = (b^2 + c^2 - (d23)^2 - (d45)^2)/(2*d23*d45);
32     th4_1 = atan2((sqrt(1-(cth4)^2)), cth4);
33     th4_2 = atan2(-(sqrt(1-(cth4)^2)), cth4);
34     if (abs(th4 - th4_1) <= abs(th4 - th4_2))
35         th4 = th4_1;
36     else
37         th4 = th4_2;
38     end
39 end
40
41 th2 = atan2(b,c) - atan2(d45*sin(th4), d23+d45*cos(th4))-pi/2;
42
43 th3 = 0;    %fixed
44
45 R03 = H03(1:3, 1:3);
46
47 R36 = transpose(R03)*R0T;
48 th6 = atan2(sqrt(1-R36(3,3)^2), R36(3,3));
49
50 th5 = atan2(-R36(2,3), -R36(1,3));
51
52 th7 = atan2(-R36(3,2), R36(3,1));
53
54 th_new = [th1, th2, th3, th4, th5, th6, th7];
55
56 end
```

---